

III-22 雨水流出現象における損失機構について

京都大学工学部 正員 石原藤次郎, 准員。高棹琢馬

山間地流域からの流出は、雨水の流達経路によつて直接流出、中间流出、地下水流出の三つに分かれれるから、近來の進んだ流出解析法を適用するためには、降雨をその流達経路に応じて事前に分離する必要がある。

W-index あるいは Horton型方式などによる従来の降雨の分離法は、いわゆる有効降雨 $C(t)$ として、降雨 $R(t)$ と浸透能 $i(t)$ の差 $C(t) = R(t) - i(t)$ を与え、浸透能 $i(t)$ としては常に簡単な正の函数を与えてゐる。このことは、中间流出の発生機構を考慮していないことを意味し、この点は従来の降雨分離法の難点といふよう。そこで、浸透能 $i(t)$ の代りに浸透能および中间流出 $de(t)$ を含む損失能 $ls(t)$ を考へ、 $C(t) = R(t) - ls(t)$ の形で有効雨量を与えることにして、 $ls(t)$ の時間分布を求めることが降雨分離法の主眼となり、そのためには雨水の損失機構を明らかにすることが必要である。

1. 損失能 $ls(t)$ の計算法；図-1 に示すように、片側に流路をもち、流路に沿つて斜面流下距離の等しい模型流域を考へる。以下の数式における記号は、 B は斜面の流下距離、 L は流路長、 K' K はそれぞれ斜面および流路の特性を表わす因子、 ρ' 、 ρ はそれぞれ斜面および流路における断面積～流量関係を表わす因子、 $g(t)$ は斜面から流路への単位時間当りの流入量、 Q_{ot} は流路上端流入量、 $Q_{o.o}$ は流路内基底流量、 \bar{t} 、 $t'(\bar{t}, t')$ はそれぞれ雨水擾乱の出発時間と到達時間（' と付加したもののは初期条件 $Q_{o.o}$ 、境界条件 Q_{ot} を考慮した仮想時間座標における \bar{t} 、 t の値）、 $G(\bar{t} \sim t) = \int_{\bar{t}}^t g(t) dt$ 、 $E(\bar{t} \sim t) = \int_{\bar{t}}^t e(t) dt$ であり、降雨、境界および初期流量および斜面、流路の諸量は既知とする。Manning の抵抗法則と連続の条件から、流入量と流量の関係式、

$$G(\bar{t} \sim t') = K [Q(t') - Q_{ot}(\bar{t})]^{\rho'} \quad (1)$$

$$\text{が求まり、仮想時間と実時間の間に} \quad t' = t + t_0 \quad t_0 = K(Q_{o.o} - Q_{o.o})^{\rho} / g_0 \quad (2)$$

の関係がある。 \bar{t} と t' の関係は Q_{ot} の有無に応じて

$$Q_{ot} \neq 0; \quad PLK = \int_{\bar{t}}^{t'} [(G(\bar{t} \sim t')/K)^{1/\rho'} + Q_{ot}(\bar{t})]^{1-\rho'} dt \quad (3)$$

$$Q_{ot} = 0; \quad PLK^{\frac{1}{\rho'}} = \int_{\bar{t}}^{t'} [G(t) - G(\bar{t})]^{1/\rho'-1} dt \quad (4)$$

$$\text{と表わされ、さらには(3)式は, } \quad t = PLK Q_{ot} (\bar{t})^{\rho'-1} + \bar{t} \quad (5)$$

$$\text{と近似できる。(4), (5)式からそれぞれの場合について, } \quad \bar{t}' = f_n(t'), \quad \bar{t} = f_n(t) \quad (6)$$

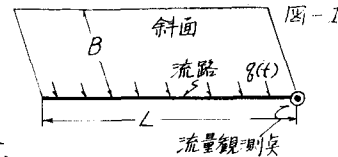
の関係が求まるから、(6)式と(1), (2)式から $G(t)$ が求まり、したがつて $g(t)$ が算出される。

$$\text{さらに流入量と降雨の間に, } \quad E(\bar{t} \sim t) = K' g(t)^{\rho'} \quad (7)$$

$$\text{の関係があり, } \bar{t} \text{ と } t \text{ の関係は, } \quad PBK'^{\frac{1}{\rho'}} = \int_{\bar{t}}^t [K' g(t)^{\rho'}]^{1/\rho'-1} dt \quad (8)$$

$$\text{として与えられ, これから, } \quad \bar{t} = f_n(t) \quad (9)$$

$$\text{の関係が求まる。(9)式と(7)式から } E(t) \text{ が算出され, また損失能累加曲線 } L_s(t), \text{ 美測降雨の累加曲線 } R(t) \text{ および } E(t) \text{ の間に, } \quad L_s(t) = R(t) - E(t) \quad (10)$$



の関係が成立するから $Ls(t)$ が求まり、これから結局 $ls(t)$ が算出されることになる。

2. 損失機構について； 上述の損失能計算法を由良川実験小流域の流出に適用した結果が図-2 のようであり、これから推察される ls と t の関係を模型的に描いたものが図-3 である。この図によつて ls の一般的傾向を予想するに次のようなである。まず降雨始点から t_f までは流出がなく、この間の降雨は初期損失として消費される。 t_f から t_0 までは ls は正、すなわち地下への浸透があり、一般に t に比例的な挙動を示す。 t_0 以後は ls が負となるから、地下からの流出つまり中间流出が卓越することになり、指數曲線または双曲線と考えられる滑かな曲線で $ls=0$ の基準軸に近づく。なお、損失能は $ls(t) = i(t) + se(t)$ と定義されたものであり、 $i(t)$ と $se(t)$ は異符号であるから、それぞれの大小に応じて $ls(t)$ は正あるいは負となる。 $i(t)$ と $se(t)$ とを流域全体にわたりて相殺した平均量と考えれば、 $i(t)$ と $se(t)$ とは時間的には共存しないはずである。降雨分離の問題は $ls(t)$ の推定にあるといつてよいから、浸透現象および中间流出の発生機構との関連において、 $ls(t)$ の上述のような挙動の解析を試みる。この場合、 $ls(t)$ の挙動は流域表層の土壤機構と降雨とによって支配されると考えてよいが、流域を表層土壤機構によって、A帶とB帶との二つに大別することができる。前者は表層が有機物の腐敗または腐敗過程にある透水性のよい土壤層（A層）であり、その下に A 層に比して透水性の低い無機土壤層（B層）がある。後者は表層が砂質土、粘土などの無機土壤層（B層）である。A 層を有する A 帯の存在が中间流出の発生機構ときわめて密接な関係があり、Horton 型浸透能と ls との合致しない理由は、中间流出の発生にある

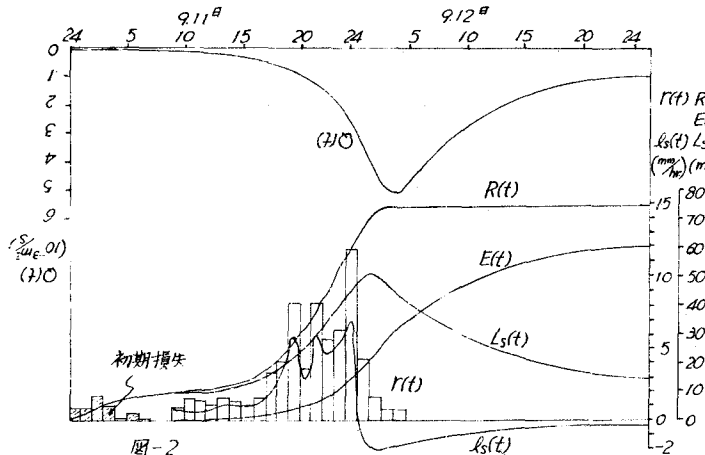
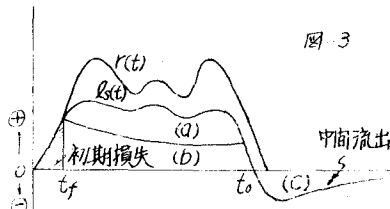


図-2

図-3



変動する。

以上のようない ls の挙動に関する詳説は、講演のときに流域表層土壤内の雨水の挙動を結びつけ論議し、さらに速水博士の過剰塩基と密度の測定による中间流出の実験結果あるいは立神博士の流出指示率の算出結果を用いて実証する。損失過程究明に関する今後の主方向は、こうして中间流出の発生機構を明らかにしていくことにある。